مقاله پژوهشي

مجله دانشگاه علوم پزشکی رفسنجان

دوره ششم، شماره سوم، پاییز ۱۳۸۶، ۱۶۲–۱۵۵

اثر تحریک الکتریکی هسته رافه خلفی بر پاسخ برانگیخته نورونهای لایه IV و V قشر برانگیخته نورونهای لایه V و V قشر بارل (بشکهای) در موش صحرایی

محمدرضا آفرینش ٰ، دکتر وحید شیبانی ٔ، رسول فرازیفرد ٰ، دکتر مهدی عباسنژاد ؓ، علی شمسیزاده ٔ

ريافت مقاله: ٨٥/٦/٢٦ ارسال مقاله به نويسنده جهت اصلاح: ٨٥/١٢/٢٢ دريافت اصلاحيه از نويسنده: ٨٦/٣/٢٣ پذيرش مقاله: ٨٦/٤/٦

چکیده

زمینه و هدف: مسیر سروتونرژنیک یکی از سیستمهای تعدیل کننده میباشد که به طور عمده از هسته رافه خلفی (Dorsal Raphe Nucleus) شروع میشود. در این پژوهش به منظور بررسی نقش سروتونین در پردازش حسی، به مطالعه اثر تحریک الکتریکی هسته رافه خلفی بر ویژگیهای پاسخی نورونهای لایه IV و V قشر حسی اولیه موشهای صحرایی مربوط به ناحیه سبیلها (Whiskers) پرداخته شده است.

مواد و روشها: در این مطالعه تجربی از ۲۰ سر موش صحرایی بالغ نژاد Wistar با وزن ۳۵۰–۲۵۰ گرم استفاده شد. هسته رافه خلفی، در زمانهای ۰، ۵۰، ۲۰۰، ۲۰۰ و ۴۰۰ میلی ثانیه قبل از خم نمودن سبیل اصلی یا سبیل کناری به تنهایی و یا قبل از خم شدن توأم سبیلها تحریک میشد. برای بررسی اثر تحریک الکتریکی هسته رافه خلفی بر میدان دریافتی مهاری نورونهای قشر بارل، سبیل اصلی ۲۰ میلی ثانیه بعد از خم شدن سبیل کناری جا به جا میشد.

یافتهها: تحریک الکتریکی هسته رافه خلفی موجب کاهش اندازه بزرگی پاسخ On نورونهای لایه V به جا به جایی سبیل اصلی شد (p<-1/2). همچنین در لایه Vا، به دنبال تحریک الکتریکی هسته در زمانهای V0 و V0 میلی ثانیه قبل از جا به جایی سبیل اصلی، زمان تأخیر پاسخ On نورونها افزایش یافت (به ترتیب V0/۱۰ و V0/۱۰). علاوه بر آن، تحریک الکتریکی هسته رافه خلفی تأثیری بر اندازه بزرگی و زمان تأخیر پاسخ On نورونها به جا به جایی سبیل کناری نداشت. تحریک الکتریکی هسته رافه خلفی V1 میلی ثانیه قبل از جا به جایی سبیل اصلی، موجب کاهش مهار ناشی از جا به جایی سبیل کناری بر بزرگی پاسخ نورون به جا به جایی سبیل اصلی شد (V0/۱۰).

نتیجه گیری: نتایج مطالعه حاضر پیشنهاد می کند که هسته رافه خلفی نقش تنظیمی بر پردازش اطلاعات در قشر حسی – پیکری موش صحرایی دارد.

واژههای کلیدی: قشر بارل، هسته رافه خلفی، موش صحرایی، تحریک الکتریکی

۱- کارشناس ارشد، مرکز تحقیقات علوم اعصاب، دانشگاه علوم پزشکی کرمان

۲- (نویسنده مسؤول) استادیار گروه آموزشی فیزیولوژی، مرکز تحقیقات علوم اعصاب، دانشگاه علوم پزشکی کرمان تلفن: ۰۳۴۱-۲۱۲۰۵۴ فاکس: ۰۳۴۱-۲۱۱۱۱۰۰ پست الکترونیکی: vsheibani2@yahoo.com

۳- استادیار گروه آموزشی زیستشناسی، دانشکده علوم، دانشگاه شهید باهنر

۴- مربی گروه آموزشی فیزیولوژی، دانشگاه علوم پزشکی رفسنجان

مقدمه

بارلها مجموعههای نورونی قابل تشخیص در قشر حسی پیکری اولیه جوندگان میباشند [۱-۲]. هر بارل دارای میدان دریافتی مشخصی میباشد و نورونهای آن به طور ترجیحی به جا به جایی یک سبیل که سبیل اصلی خوانده می شود پاسخ میدهند اما می توانند به میزان کمتری به سبیلهای کناری نیز پاسخ دهند [۴-۳]. ویژگیهای خاص این قشر سبب شده است که به عنوان یک مدل مناسب برای بررسی پردازش اطلاعات حسى مورد استفاده قرار گيرد.

سروتونین به عنوان یک میانجی عصبی نقش مهمی در تنظیم عملکرد سیستم عصبی مرکزی از جمله دورههای خواب و بیداری، فعالیت حرکتی و ادراک بر عهده دارد. گیرندههای سروتونینی بطور وسیعی در قشر مغز یافت میشوند [۷-۵]. مشخص شده است که مهمترین ورودیهای نورونهای سروتونرژیک به قشر مغز از طریق هسته رافه خلفی تأمین می شود [۵،۸]. نورونهای قشری در پاسخ به سروتونین پاسخهای متضاد تحریکی و مهاری میدهند [۹]. گزارش شده که تحریک الکتریکی هسته رافه خلفی اثرات تحریکی و مهاری فعالیت نورونی قشر جلوی پیشانی را تحت تأثیر خود قرار میدهد [۱۱-۱۱]. همچنین این تحریک میتواند سبب سركوب فعاليت خودبخودي نورونهاي قشر جلوي پيشاني [۱۲] و Intergeniculate leaflet گردد [۱۳]. نشان داده شده است که تحریک الکتریکی هسته رافه میتواند پاسخهای برانگیخته در نورونهای حسی پیکری ساقه مغز گربه را نیز كاهش دهد [۱۴]. تحريك الكتريكي هسته رافه خلفي موجب افزایش مصرف گلوکز با ایجاد یک الگوی لایهای و ستونی در قشر بارل موش صحرایی نیز میشود [۱۵].

تراکم بالایی از گیرندههای سروتونین در لایههای I و V در قشر بارل در موش صحرایی بالغ یافت میشود [۶-۵] در حالی که در نوزادان گیرندهها در لایههای IV و VI متمرکزترند [۶]. با وجود این که مشخص شده تحریک الکتریکی هسته رافه موجب کاهش دامنه پتانسیلهای میدانی برانگیخته در قشر حسی پیکری موش صحرایی و گربه میشود [۱۷-۱۷] اما مطلبی راجع به نقش هسته رافه خلفی بر پردازش اطلاعات

حسی پیکری در قشر بارل یافت نشد. بنابراین در این مطالعه با استفاده از جا به جایی کنترل شده سبیلها، اثر تحریک الکتریکی هسته رافه خلفی را بر ویژگیهای پاسخی نورونهای لایه IV و V قشر حسى بارل بررسى نمودیم.

مواد و روشها

الف - حيوانها: اين مطالعه به صورت تجربي بوده و در أن از ۲۰ سر موش صحرایی بالغ نژاد Wistar با وزن ۳۵۰–۲۵۰ گرم استفاده شده است. تمامی حیوانها در شرایط استاندارد حیوانخانه و ۱۲ ساعت تاریکی و روشنایی نگهداری میشدند و دسترسی آزاد به آب و غذا داشتند. حیوانها با داروی یورتان (۱/۲ گرم بر کیلوگرم) بیهوش و در دستگاه استریوتاکس (Stoelting U.S.A) قرار می گرفتند. سپس استخوان روی سطح قشر بارل برداشته میشد (۴-۱ میلیمتر پشت برگما و ۲-۷ میلیمتر در جانب خط وسط) [۱۸]. در طول آزمایش سطح قشر با محلول آگار ۳٪ در سالین پوشیده میشد و دمای بدن حیوان با استفاده از پتوی حرارتی Harvard apparatus) (England در ۳۷ درجه سانتی گراد ثابت نگه داشته می شد.

ب- ثبت تک واحدی خارج سلولی: برای ثبت خارج سلولي فعاليت الكتريكي نورونها، از ميكرو الكترود شيشهاي با قطر۵-۲ میکرون استفاده شد. این میکرو الکترود با محلول کلرید سدیم ۲ مولار پر میشد. سپس میکرو الکترود شیشهای در یک نگهدارنده میکرو الکترود قرار داده شده و با استفاده از دستگاه میکرومنیپولاتور (WPI U.S.A) با زاویه ۲۰ درجه به قشر بارل وارد مىشد. فعاليت الكتريكي ثبت شده از هر نورون که از میکرو الکترودها به دست میآمد تا ۱۰۰۰۰ برابر تقویت (WPI, DAMA) و پالایش (WPI, DAMA) خروجی دستگاه آمپلی فایر به ورودی دستگاه موج بیز (WIP) وصل می شد. با استفاده از یک پنجره ولتاژی که به وسیله دستگاه موج بیز ایجاد میشود فعالیت یک نورون منفرد ایزوله می شد. و همزمان از طریق یک دستگاه مدار تأخیری Delay (line با زمان تأخير ۲/۵ ميلى ثانيه به اسيلوسكوپ حافظهدار منتقل مى گرديد. بدين ترتيب شكل فعاليت الكتريكي نورون ایزوله شده در آن قابل مشاهده میشد. پالسهای مربعی مربوط به نورون ایزوله شده که خروجی دستگاه موج بیز

میباشند به کامپیوتر فرستاده میشد. با استفاده از نرم افزار مربوطه، پاسخ نورونها به خم شدن مکانیکی کنترل شده سبیلها، به صورت هیستوگرامهای زمانی بعد از تحریک [(PSTH)) ثبت میشد.

ج- تحريكات مكانيكي سبيلها و الكتريكي هسته رافه:

برای خم نمودن مکانیکی کنترل شده سبیلها از دو بلندگو استفاده میشد. یک لوله شیشهای نازک با قطر داخلی ۱۶۹ میلیمتر، به مرکز هر بلندگو وصل شده و با اعمال ولتاژ مناسب به بلندگوها جا به جایی با مشخصات ذیل در آنها ایجاد میشد: زمان بالا رفتن سبیل ۵ میلیثانیه، مدت زمان خم شدن ۲۰۰ میلیثانیه، میزان خم کردن ۵۰۰ میکروثانیه، دفعات خم کردن ۴۰۰ میلیثانیه، میزان خم کردن سبیلی که قوی ترین پاسخ نورونی را بر میانگیخت به عنوان سبیل اصلی و سبیل عقبی آن به عنوان سبیل کناری در نظر گرفته میشد. این سبیلها به فاصله ۱۰ میلیمتر از سطح صورت کوتاه و نوک آنها داخل لولههای شیشهای قرار میگرفت ایا ایجاد شده باسخ ایجاد شده پاسخ میشود، پاسخ ایجاد شده پاسخ میشود، پاسخ ایجاد شده باسخ ایجاد شده باسخ کاری در نامید میشود.

برای تحریک الکتریکی هسته رافه، دو الکترود از جنس استیل زنگ نزن با روکش تفلون (به قطر ۰/۱۲۵ میلیمتر) به دور هم پیچیده میشدند و با زاویه ۱۸ درجه وارد هسته میشدند (۷/۸ پشت برگما، از خط وسط، عمق ۶/۲ میلیمتر) [۱۸]. تحریک الکتریکی شامل ۱۰ پالس با مدت ۱/۳ میلی ثانیه بود که با شدت ۲۰۰ میکروآمپر و فرکانس ۴۰ هرتز اعمال میشد.

د- پروتکل آزمایش: دو پروتکل جداگانه برای بررسی اثر تحریک الکتریکی هسته رافه بر ویژگیهای پاسخ نورونهای قشر بارل به کار گرفته شد. در پروتکل اول سبیلهای اصلی و کناری به صورت جداگانه جا به جا میشدند تا اطلاعاتی راجع به میدان دریافتی تحریکی نورونها به دست آید. در پروتکل دوم، سبیل کناری ۲۰ میلی ثانیه قبل از سبیل اصلی جا به جا میشد تا میدان دریافتی مهاری مورد بررسی قرار گیرد [۲۰].

تحریک الکتریکی هسته رافه خلفی در زمانهای ۰، ۵۰، ۱۰۰، تحریک الکتریکی هسته رافه خلفی در زمانهای سبیل اصلی یا کناری اعمال می شد. در زمانی که سبیلها با هم و با اختلاف زمانی جا به جا می شدند، تحریک الکتریکی هسته قبل از جا به جایی سبیل کناری انجام می شد. برای مقایسه اثر تحریک الکتریکی هسته بر پاسخ نورونها، سبیلها بدون تحریک الکتریکی هسته بر پاسخ نورونها، سبیلها بدون تحریک الکتریکی هسته نیز جا به جا می شدند. هر کدام از تحریکات (با یا بدون تحریک الکتریکی هسته رافه) ۴۰ مرتبه با فرکانس $\Delta/$ هرتز تکرار می شد. در پایان آزمایش مغز حیوان خارج و در فرمالین ۱۰٪ ثابت می شد. پس از انجام مراحل ثبت نورونی، با استفاده از رنگ آمیزی نیسل، محل قرار گرفتن نورونی، با استفاده از رنگ آمیزی نیسل، محل قرار می گرفت.

ه - تجزیه و تحلیل دادهها: با استفاده از هیستوگرامهای پس از تحریک (PSTH)، ابتدا پاسخ نورونها در ۱۰۰ میلی ثانیه اول هر فایل ثبتی جایی که هیچگونه تحریک مکانیکی یا الکتریکی وجود نداشت به عنوان فعالیت خودبخودی مورد محاسبه قرار میگرفت. سپس بزرگی پاسخها (Response magnitude) بر حسب spike/stimulus در بازه زمانی ۲۵-۵ میلی ثانیه بعد از جا به جایی سبیلها محاسبه شدند. برای محاسبه تغییرات مطلق بزرگی پاسخها بزرگی پاسخ نورونها در زمانهای مختلف تحریک هسته رافه خلفی از بزرگی پاسخ نورونها در زمانهای مختلف تحریک هسته رافه خلفی از بزرگی پاسخ نورونها در زمانی که سبیلها بدون تحریک هسته جا به جا می شدند کم می شد.

همچنین برای محاسبه زمان تأخیر پاسخ در نظر گرفته Latency) زمانی به عنوان زمان تأخیر پاسخ در نظر گرفته میشد که پاسخ نورونها بعد از جا به جایی سبیلها از میانگین به اضافه ۲ برابر انحراف معیار فعالیت خودبخودی بیشتر میشد. این پارامترها در زمان جا به جایی جداگانه سبیلها نیز اندازه گیری میشدند. برای محاسبه اثر تسهیلی یا مهاری سبیلهای اصلی و کناری بر یکدیگر، از Condition مهاری سبیلهای اصلی و کناری بر یکدیگر، از محاسبه می گردید [۲۰]. لازم به ذکر است که سبیلها با اختلاف می گردید [۲۰]. لازم به ذکر است که سبیلها با اختلاف زمانی ۲۰ میلی ثانیه جا به جا می شدند:

نتايج

برای بررسی اثر تحریک هسته رافه خلفی بر پاسخ نورونهای حسی قشر از ۴۳ نورون در ۲۰ موش صحرایی ثبت گرفته شد. از این تعداد، ۲۶ نورون در لایه IV و ۱۷ نورون در لایه V و این تعداد، ۲۶ نورون در لایه V و این تعداد، ۲۶ نورون در لایه V و این تعداد، ۲۰ نورونهای لایه V و این تعریک الکتریکی لایه IV و V در زمانی که سبیلها بدون تحریک الکتریکی هسته جا به جا میشدند، در جدول ۱ آورده شده است. مقایسه آماری نشان داد که نورونهای لایه IV دارای فعالیت خودبخودی کمتری نسبت به نورونهای لایه V هستند نورونهای لایه V هستند نورونهای لایه V با بزرگی بیشتری نسبت به نورونهای لایه V به جا به جایی سبیل اصلی پاسخ میدادند نورونهای لایه (p<-/-۵) و زمان تأخیر آنها نیز کمتر بود (p<-/-۵).

(۵–۲۵)PC CTR=-----(۲۵–۴۵) Aa+ میلی ثانیه (۵–۲۵)Pa

PC = بزرگی پاسخ سبیل اصلی در حالت جفتی در ۲۵-۵ میلی ثانیه بعد از جابهجایی.

Pa = بزرگی پاسخ سبیل اصلی به تنهایی در ۲۵–۵ میلی ثانیه بعد از جابهجایی.

Aa = بزرگی پاسخ سبیل کناری به تنهایی در ۴۵–۲۵ میلی ثانیه بعد از جابهجایی.

در صورتی که مقدار CTR از یک کمتر بود به عنوان اثر مهاری و اگر از یک بیشتر بود به عنوان تسهیل در پاسخ نورون در نظر گرفته میشد [۲۰].

دادههای به دست آمده با استفاده از آزمونهای $\,$ Friedman test و $\,$ Mann-Whitney test $\,$ ناپارامتریک $\,$ Wilcoxon signed ranks $\,$ مورد بررسی قرار گرفتند. همچنین $\,$ $\,$ $\,$ به عنوان سطح معنی داری در نظر گرفته شد.

جدول I مقایسه فعالیت خودبخودی، اندازه بزرگی و زمان تأخیر پاسخ های On و Off بین نورون های دو V و V و V قشر بارل در اثر خم نمودن V تنترل شده سبیل های اصلی و V تناری.

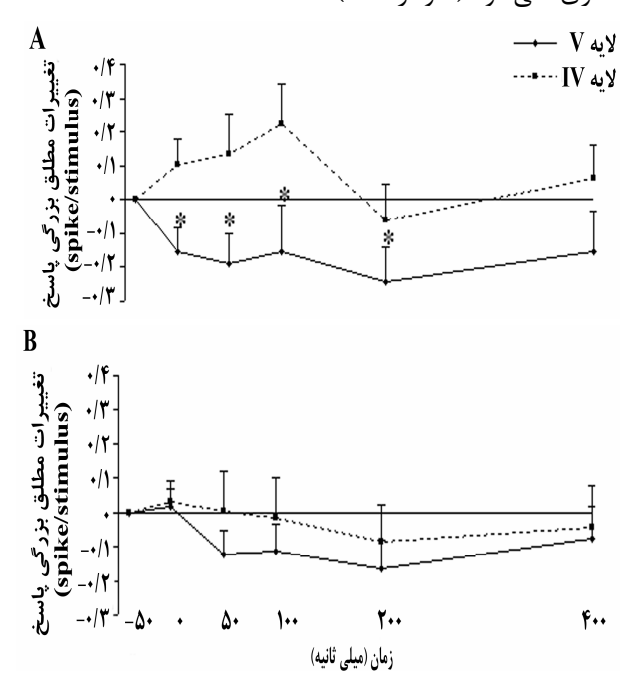
پاسخ سبیل کناری		پاسخ سبیل اصلی					
زمان تأخیر شروع پاسخ (میلیثانیه)	بزرگی اندازه پاسخ (spike/stimulus)	زمان تأخير شروع پاسخ (ميلى ثانيه)	بزرگی اندازه پاسخ (spike/stimulus)	فعالیت خودبخودی (هر تز)		لايه	
۹/۸±۰/۵	1/07±•/10	***V/۶±•/۲	* 7 ±•/ 1 A	*\delta/9±+/9	On	IV (n=Y۶)	
۱۲/۵±۰/۷۳	·/9.\±·/14	11/A±•/۶1	1/4±•/٢1		Off		
\\/\±•/۴	1/19±•/11	۱٠/٧±٠/٣	1/67±1/17	۹/۳±۱/۵	On	V (n=1Y)	
14/8V±1/1A	\/\ T ±•/\A	۱ Υ/Δ٣±•/ λ	1/1A±+/19		Off		

پاسخ On نورونهای دو لایه IV و V و نیز پاسخ Off نورونهای دو لایه مذکور در هر ستون جداگانه با یکدیگر مقایسه شدهاند و ستاره اندازه معنی داری بین دو لایه را نشان می دهد: (** ۱۶۰۰۰۰)، ***: Mann-Whitney test، p<۰٬۰۰۱). داده ها بر اساس میانگین ± خطای معیار میباشد.

الف - اثر تحریک الکتریکی هسته رافه خلفی بر میدان دریافتی تحریکی: برای بررسی اثر تحریک الکتریکی هسته رافه خلفی بر میدان دریافتی تحریکی، سبیلهای اصلی و کناری به تنهایی جا به جا شدند. تحریک الکتریکی هسته در زمانهای ۰، ۵۰، ۱۰۰، ۲۰۰ و ۴۰۰ میلی ثانیه قبل از جا به جایی سبیلها اعمال شد.

همان گونه که نمودار A-I نشان می دهد، تحریک الکتریکی هسته رافه خلفی موجب کاهش در بزرگی پاسخ (On) نورونهای لایه IV می شود (هرچند که معنی دار نبود). هم چنین تحریک الکتریکی هسته رافه باعث اختلاف

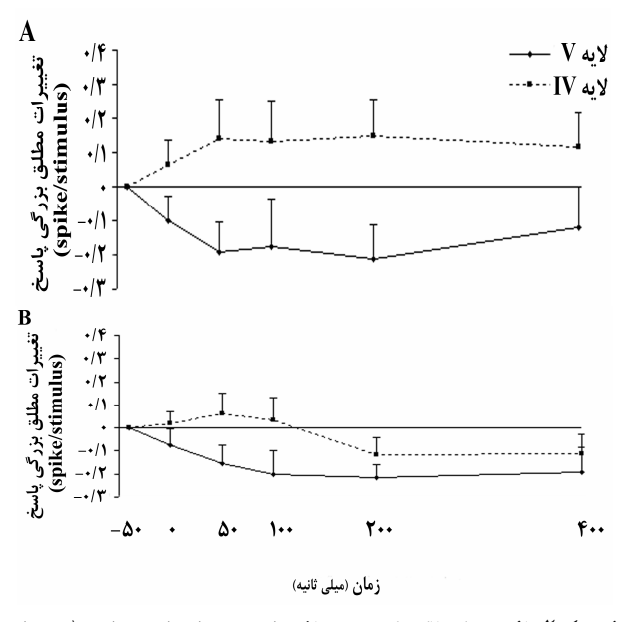
معنیداری در بزرگی مطلق پاسخهای Off سبیل اصلی و کناری نمیشود (نمودار B-۱).



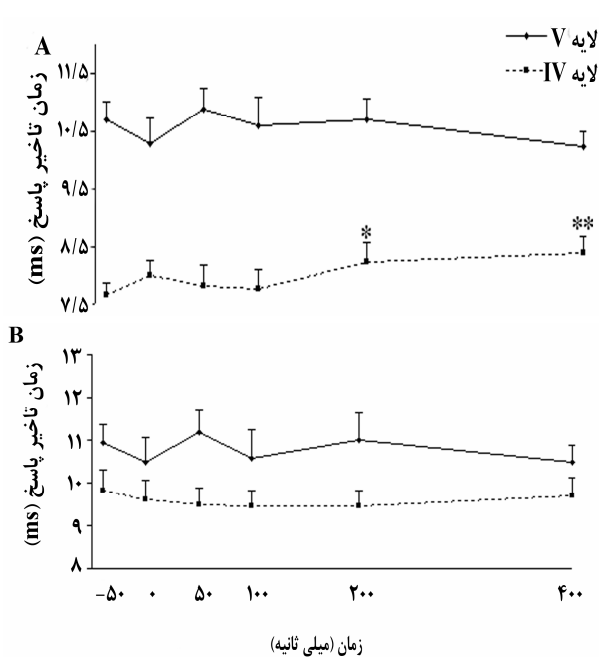
تحریک الکتریکی هسته رافه بر بزرگی مطلق پاسخهای On و Off نورونها در پاسخ به جا به جایی سبیل کناری نیز اختلاف معنی داری نشان نداد (نمودار A - Y و A).

ب- اثر تحریک الکتریکی هسته رافه خلفی بر تأخیر پاسخ نورونها: با افزایش فاصله زمانی تحریک الکتریکی هسته رافه خلفی، تأخیر پاسخ نورونهای لایه IV قشر به جا به جایی سبیل اصلی به تدریج افزایش نشان داد. همانگونه که در نمودار A-۳ نشان داده شده، افزایش تأخیر پاسخ On نورونهای لایه IV در زمانی که هسته ۲۰۰ و ۴۰۰ میلی ثانیه قبل از جا به جایی سبیل اصلی تحریک میشد از نظر آماری معنی دار است (۹۰/۰۵). میزان تغییرات پاسخ On نورونها به جایی سبیل اصلی پس از تحریک الکتریکی هسته رافه جا به جایی سبیل اصلی پس از تحریک الکتریکی هسته رافه خلفی در زمانهای مختلف اختلاف معنی داری نشان نداد. همچنین نمودار B-۳ نشان می دهد که زمان تأخیر پاسخهای

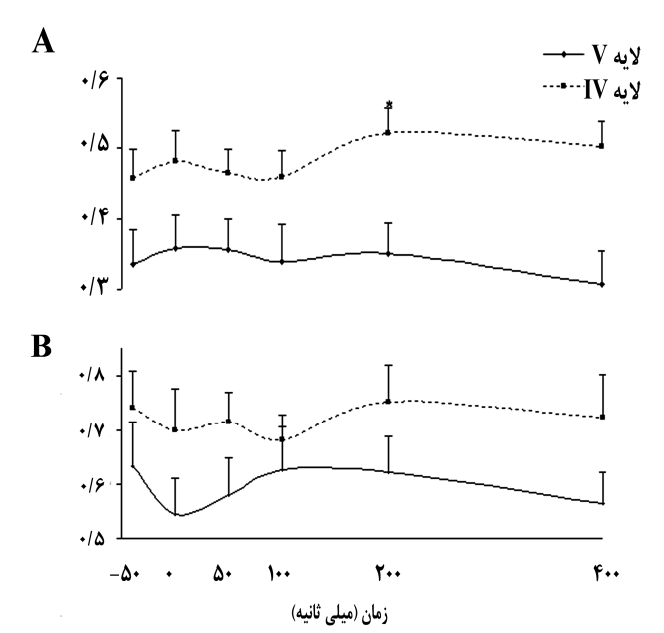
Off نورونها لایههای V و IV در پاسخ به جا به جایی سبیل کناری اختلاف معنی دار نشان نمی دهد.



نمودار ۲- اثر تحریک الکتریکی هسته رافه خلفی در زمانهای مختلف (صفرتا و اسفرتا در زمانهای مختلف (صفرتا در خدم میلی ثانیه) قبل از جا به جایی مکانیکی سبیل کناری بر تغییرات مطلق بزرگی پاسخهای (A) On (A) و Off (B) نورونهای لایه IV و V. فاصله زمانی (۵۰-تا صفر)میلی ثانیه، زمان جا به جایی مکانیکی سبیل کناری به تنهایی و بدون تحریک الکتریکی هسته رافه خلفی می باشد. اعداد نشان دهنده میانگین ± خطای معیار می باشند.



ج- اثر تحریک الکتریکی هسته رافه خلفی بر میدان دریافتی مهاری نورونها: برای بررسی اثر تحریک الکتریکی هسته رافه خلفی در زمانهای مختلف بر میزان مهار جانبی نورونها، سبیل اصلی ۲۰ میلیثانیه پس از سبیل کناری جا به جا شد. نمودار ۴ میزان تغییرات CTR را در زمانهای ۵۰، ۱۰۰، ۲۰۰ و ۴۰۰ میلی ثانیه نشان می دهد. همان طور که از نمودار بر میآید تحریک الکتریکی هسته، موجب افزایش میزان CTR پاسخ (On) نورونهای لایه IV شد و این افزایش تنها در زمان ۲۰۰ میلی ثانیه معنی دار بود (p=۰/۰۲) میزان CTR در پاسخهای On نورونهای لایه V معنی دار نمی باشد (نمودار A-۴). همچنین تحریک الکتریکی هسته رافه خلفی هیچگونه اثری بر میزان CTR پاسخهای Off نورونهای لایه V و IV نشان نداد (نمودار ۴-B).



نمودار ٤- اثر تحریک الکتریکی هسته رافه خلفی در زمانهای مختلف (صفرتا ٤٠٠ ميلي ثانيه) بر ميزان CTR نورونهاي لايه IV و V قشر بارل. فاصله زمانی (٥٠-تا صفر)میلی ثانیه، زمان جا به جایی مکانیکی سبیل اصلی و كنارى با فاصله زماني ۲۰ ميلي ثانيه و بدون تحريك الكتريكي هسته رافه خلفي مى باشد. اعداد نشان دهنده ميانگين ± خطاى معيار مىباشند (*: .(p< -/-0

بحث

در این مطالعه نشان داده شد که تحریک الکتریکی هسته رافه خلفی موجب افزایش بزرگی و تأخیر پاسخ نورونهای لایه IV قشر بارل به جا به جایی سبیل اصلی میشود. همچنین

تحریک الکتریکی هسته، مهار جانبی در این لایه را تضعیف مى كند. اين يافتهها پيشنهاد مى كند كه هسته رافه خلفى دارای نقش تنظیمی در سیستم حسی پیکری بارل میباشد.

مطالعات نشان دادهاند که هسته رافه خلفی تأثیرات متفاوتی بر نورونهای قشر دارد. به طور مثال تحریک الكتريكي اين هسته موجب مهار نورونهاي قشرجلوي پيشاني می شود و این اثر از طریق نورونهای حاوی سروتونین اعمال می گردد [۱۲،۲۱]. چنین اثری به دنبال سروتونین نیز دیده شده است[۲۲]. از طرفی Aghajanian و ۲۳] یک V نقش تحریکی برای سروتونین بر نورونهای پیرامیدال Vقشر بیان کردهاند. اما بیشتر مطالعات نقش دوگانه تحریکی و مهاری را به دنبال تحریک الکتریکی هسته یا استعمال سروتونین بیان کردهاند [۲۷–۲۴، ۱۰].

اثراتی که در این بررسی مشاهده شد می تواند ناشی از رهاسازی سروتونین از هسته به دنبال تحریک الکتریکی آن باشد زیرا قشر از هسته رافه ورودیهای زیادی را دریافت می کند [۵٬۸] و اعتقاد بر این است که عمده ورودیها سروتونرژیک میباشند [۸]. از طرفی این تغییرات پاسخی می تواند ناشی از رهاسازی سایر نوروترانسمیترها باشد زیرا حاوي نورونهای هسته 9 [7A] (GABA)Gama Amino Butyric Acid (NO) می باشند.

در این مطالعه برای به دست آوردن اطلاعات راجع به تأثیر تحریک الکتریکی هسته رافه خلفی بر مهار جانبی نورونها در قشر بارل، سبیلها به صورت جفتی جا به جا شدند. نشان داده شده است که بیشترین اثر مهاری در زمانی مشاهده میشود که سبیل کناری ۲۰ میلی ثانیه قبل از سبیل اصلی جا به جا شود [۲۰–۱۹] (همانگونه که در این مطالعه نیز از این پروتکل استفاده شد). نتایج به دست آمده نشان داد که در لایه IV قشر ميزان CTR به دنبال تحريك الكتريكي هسته افزايش مى يابد. اين ميزان نسبت عكس با قدرت مهار دارد يعنى اگر میزان آن ۱ باشد هیچگونه مهاری وجود ندارد و اگر صفر شود یعنی بیشترین اثر مهاری ممکن وجود دارد. به خوبی مشخص شده است که مهار جانبی در قشر عمدتاً توسط فعالیت

در پاسخ سلولی نورونهای قشر شده باشد. هرچند اعتقاد بر ابن است که بعضی از ویژگیهای پاسخ نورونها مانند مهار جانبی، مربوط به فرایندهای داخل قشری میباشد [۲۱].

اثر متوسطی که به دنبال تحریک الکتریکی هسته رافه بر پاسخ نورونهای لایه IV در این مطالعه دیده شد میتواند ناشی از ناتوانی ما در افتراق بین محل نورونها در بارلها یا دیوارههای بین آنها باشد.

نتيجهگيري

این مطالعه نشان داد که هسته رافه خلفی موجب تغییر در ویژگیهای پاسخ نورونها و تنظیم پردازش اطلاعات حسی پیکری در قشر بارل موش صحرایی میشود. هرچند که این اثر میتواند ناشی از رهاسازی سروتونین به دنبال تحریک الکتریکی هسته باشد. تبیین این نتایج مستلزم مطالعات بیشتر و تکنیکهای آزمایشگاهی پیشرفته تر میباشد تا بدان وسیله گامهای استوارتری در جهت تعالی دانش بشری برداشته شود.

گیرندههای GABA تنظیم می شود [۲۱٬۳۰]. اخیراً گیرندههای Torres-Escalante و همکارانش [۳۱] با استفاده از پالسهای جفتی و گرفتن پتانسیلهای میدانی، نشان دادهاند که سروتونین موجب کاهش مهار in-field در قشر حسی پیکری می شود. آنها گزارش کردهاند که این اثر در حضور آنتاگونیستهای GABA قوی تر است و نتیجه گرفتند که تعاملی بین گیرندههای سروتونین و گابا در قشر وجود دارد. همچنین گزارش شده است که تحریک الکتریکی هسته رافه، اثر تنظیمی خود را از طریق گابا و سروتونین بر قشر پیش پیشانی اعمال می کند [۱۰]. احتمالاً هسته رافه خلفی اثر تنظیمی خود را بر عملکرد مهاری نورونهای قشر بارل از طریق عصب دهی سروتونرژیک اعمال می کند.

هسته رافه خلفی علاوه بر قشر به سایر قسمتهای مسیرهای سه قلو در تالاموس و ساقه مغز نیز فیبرهای عصبی می فرستد [۸]. بنابراین، این احتمال وجود دارد که تحریک الکتریکی هسته از طریق قسمتهای ذکر شده موجب تغییر

References

- [1] Welker C. Receptive fields of barrels in the somatosensory neocortex of the rat. *J Comp Neurol*, 1976; 166(2): 173-89.
- [2] Woolsey TA, Van der Loos H. The structural organization of layer IV in the somatosensory region (SI) of mouse cerebral cortex. The description of a cortical field composed of discrete cytoarchitectonic units. *Brain Res*, 1970; 17(2): 205-42.
- [3] Armstrong-James M, Fox K. Spatiotemporal convergence and divergence in the rat S1 "barrel" cortex. *J Comp Neurol*, 1987; 263(2): 265-81.
- [4] Welker E, Armstrong-James M, Van der Loos H, Kraftsik R. The mode of activation of a barrel column: response properties of single units in the somatosensory cortex of the mouse upon whisker deflection. *Eur J Neurosci*, 1993; 5(6): 691-712.
- [5] Blue ME, Yagaloff KA, Mamounas LA, Hartig PR, Molliver ME. Correspondence between 5-HT2 receptors and serotonergic axons in rat neocortex. *Brain Res*, 1988; 453(1-2): 315-28.

- [6] D'Amato RJ, Blue ME, Largent BL, Lynch DR, Ledbetter DJ, Molliver ME, et al. Ontogeny of the serotonergic projection to rat neocortex: transient expression of a dense innervation to primary sensory areas. *Proc Natl Acad Sci* USA, 1987; 84(12): 4322-6.
- [7] Pazos A, Palacios JM. Quantitative autoradiographic mapping of serotonin receptors in the rat brain. I. Serotonin-1 receptors. *Brain Res*, 1985; 346(2): 205-30.
- [8] Kirifides ML, Simpson KL, Lin RC, Waterhouse BD. Topographic organization and neurochemical identity of dorsal raphe neurons that project to the trigeminal somatosensory pathway in the rat. J Comp Neurol, 2001; 435(3): 325-40.
- [9] Aghajanian GK, Sanders-Bush E, Davis D, Charney JT, Coyle C. Nemeroff (Eds.). Neuropsychopharmacology: the fifth generation of Progress, philadelphia; lippincott, Williams and Wilkins. 2002; pp: 15-34.
- [10] Puig MV, Artigas F, Celada P. Modulation of the activity of pyramidal neurons in rat prefrontal cortex by raphe

- stimulation in vivo: involvement of serotonin and GABA. Cereb Cortex, 2005; 15(1): 1-14.
- [11] Mantz J, Godbout R, Tassin JP, Glowinski J, Thierry AM. Inhibition of spontaneous and evoked unit activity in the rat medial prefrontal cortex by mesencephalic raphe nuclei. Brain Res, 1990; 524(1): 22-30.
- [12] Hajos M, Gartside SE, Varga V, Sharp T. In vivo inhibition of neuronal activity in the rat ventromedial prefrontal cortex by midbrain-raphe nuclei: role of 5-HT1A receptors. Neuropharmacology. 2003; 45(1): 72-81.
- [13] Blasiak T, Lewandowski MH. Dorsal raphe nucleus modulates neuronal activity in rat intergeniculate leaflet. Behav Brain Res, 2003; 138(2): 179-85.
- [14] Chiang CY, Hu JW, Dostrovsky JO, Sessle BJ. Changes in οf mechanoreceptive field properties trigeminal somatosensory brainstem neurons induced by stimulation of nucleus raphe magnus in cats. Brain Res, 1989; 485(2): 371-
- [15] Cudennec A, Duverger D, Serrano A, Scatton B, MacKenzie ET. Influence of ascending serotonergic pathways on glucose use in the conscious rat brain. II. Effects of electrical stimulation of the rostral raphe nuclei. Brain Res, 1988; 444(2): 227-46.
- [16] Follett KA, Gebhart GF. Modulation of cortical evoked potentials by stimulation of nucleus raphe magnus in rats. J Neurophysiol, 1992; 67(4): 820-8.
- [17] Iwayama K, Mori K, Fukushima M, Yamashiro K. Effect of midbrain raphe nucleus stimulation on somatosensory evoked potential in cat. Neurol Res, 1989; 11(2): 105-8.
- [18] Paxinos G, Watson C. The Rat Brain in Stereotaxic Coordinates, San Diego; Academic Press. 1986; pp. 49
- [19] Farazifard R, Kiani R, Noorbakhsh M, Esteky H. Effects of neonatal C-fiber depletion on the integration of pairedwhisker inputs in rat barrel cortex. Exp Brain Res, 2005; 162(1): 115-21.
- [20] Simons DJ, Carvell GE. Thalamocortical response transformation in the rat vibrissa/barrel system. JNeurophysiol, 1989; 61(2): 311-30.
- [21] Kyriazi HT, Carvell GE, Brumberg JC, Simons DJ. Quantitative effects of GABA and bicuculline methiodide on receptive field properties of neurons in real and simulated whisker barrels. J Neurophysiol, 1996; 75(2): 547-60.

- [22] Read HL, Beck SG, Dun NJ. Serotonergic suppression of interhemispheric cortical synaptic potentials. Brain Res, 1994; 643(1-2): 17-28.
- [23] Aghajanian GK, Marek GJ. Serotonin induces excitatory postsynaptic potentials in apical dendrites of neocortical pyramidal cells. Neuropharmacology. 1997; 36(4-5): 589-99.
- [24] Araneda R, Andrade R. 5-Hydroxytryptamine2 and 5hydroxytryptamine 1A receptors mediate opposing responses on membrane excitability in rat association cortex. Neuroscience. 1991; 40(2): 399-412.
- [25] Davies MF, Deisz RA, Prince DA, Peroutka SJ. Two distinct effects of 5-hydroxytryptamine on single cortical neurons. Brain Res, 1987; 423(1-2): 347-52.
- [26] Sheldon PW, Aghajanian GK. Serotonin (5-HT) induces IPSPs in pyramidal layer cells of rat piriform cortex: evidence for the involvement of a 5-HT2-activated interneuron. Brain Res, 1990; 506(1): 62-9.
- [27] Waterhouse BD, Moises HC, Woodward DJ. Interaction of serotonin with somatosensory cortical neuronal responses to afferent synaptic inputs and putative neurotransmitters. Brain Res Bull, 1986; 17(4): 507-18.
- [28] Harandi M, Aguera M, Gamrani H, Didier M, Maitre M, Calas A, et al. Gamma-aminobutyric acid and 5hydroxytryptamine interrelationship in the rat nucleus raphe dorsalis: combination of radioautographic and immunocytochemical techniques at light and electron microscopy levels. Neuroscience, 1987; 21(1): 237-51.
- [29] Simpson KL, Waterhouse BD, Lin RC. Differential expression of nitric oxide in serotonergic projection neurons: neurochemical identification of dorsal raphe inputs to rodent trigeminal somatosensory targets. J Comp Neurol, 2003; 466(4): 495-512.
- [30] Kyriazi HT, Carvell GE, Brumberg JC, Simons DJ. Effects of baclofen and phaclofen on receptive field properties of rat whisker barrel neurons. Brain Res, 1996; 712(2): 325-8.
- [31] Torres-Escalante JL, Barral JA, Ibarra-Villa MD, Perez-Burgos A, Gongora-Alfaro JL, Pineda JC. 5-HT1A, 5-HT2, **GABAB** and receptors interact modulate neurotransmitter release probability layer 2/3 somatosensory rat cortex as evaluated by the paired pulse protocol. J Neurosci Res, 2004; 78(2): 268-78.